

Нелинейная задача теплопроводности для радиационно-теплового экрана реактора АЭС

Э.К. Агаханов¹, Р.М. Курачев¹, А.С. Чепурненко², И.И. Кулинич³

¹Дагестанский государственный технический университет

²Ростовский государственный строительный университет

³Северо-Кавказский федеральный университет

Аннотация: Рассмотрена стационарная задача теплопроводности для радиационно-теплового экрана реактора АЭС с учетом внутренних источников тепловыделения. Учитывалась зависимость коэффициента теплопроводности бетона от температуры, что обуславливало нелинейность задачи. Решение выполнялось при помощи метода конечных элементов в сочетании с методом последовательных приближений. Установлено, что учет зависимости коэффициента теплопроводности от температуры приводит к незначительному (2.5%) повышению температуры в толще.

Ключевые слова: теплопроводность, метод конечных элементов, стационарное температурное поле, радиационно-тепловой экран, толстостенные цилиндры.

Во многих работах [1-8] рассматриваются задачи расчета толстостенных цилиндров и сфер с учетом силовых и температурных воздействий, когда неоднородность материала носит одномерный (радиальный) характер. В ряде практических задач источник тепла, находящийся внутри цилиндрической оболочки, можно рассматривать как точечный. При этом температурное поле остается осесимметричным, но возникает двумерная неоднородность.

Рассмотрим задачу определения температурного поля для радиационно-теплового экрана реактора АЭС. Расчетная схема представлена на рисунке 1.

Такая конструкция, также называемая «сухой защитой», применяется для уменьшения тепловых и радиационных воздействий, возникающих при работе реактора. В конструктивном плане «сухая защита» является жестко закрепленной в основании толстостенной цилиндрической оболочкой, изготовленной из жаростойкого бетона [2,5,9].

В работах [2,5] задача теплопроводности решается вариационно-разностным методом. Однако этот метод имеет недостаток, связанный с тем, что при определении напряженно-деформированного состояния решение также должно выполняться вариационно-разностным методом, либо при решении методом конечных элементов сетка КЭ должна совпадать с разностной сеткой.

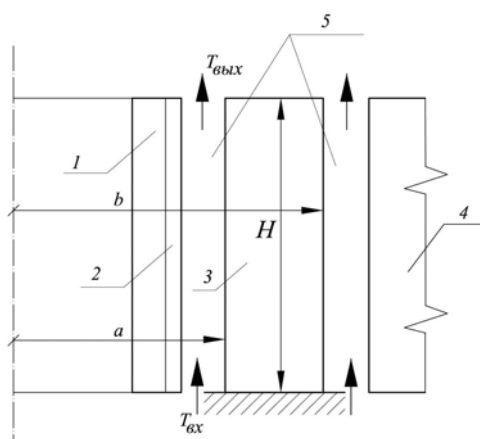


Рис. 1. – Расчетная схема: 1 – корпус реактора; 2 – теплоизоляция; 3 – «сухая защита»; 4 – биологическая защита; 5 – каналы охлаждения

Кроме того, в работах [2,5] не учитывается зависимость коэффициента теплопроводности и коэффициента линейного температурного расширения от температуры.

Рассмотрим решение осесимметричной задачи теплопроводности с учетом зависимости коэффициента теплопроводности от температуры при помощи метода конечных элементов.

В случае стационарного температурного поля уравнение теплопроводности для осесимметричной задачи имеет вид:

$$\frac{1}{r} \frac{\partial}{\partial r} \left[r \lambda(T) \frac{\partial T}{\partial r} \right] + \frac{\partial}{\partial z} \left[\lambda(T) \frac{\partial T}{\partial z} \right] = -W(r, z), \quad (1)$$

где $\lambda(T)$ – коэффициент теплопроводности, $W(r, z)$ – плотность внутренних источников тепловыделений.

Для функции $W(r, z)$ используется следующая зависимость, приведенная в работах [2,5]:

$$W(r, z) = W_0 + W_1 \exp[-\delta(r - a)] \sin \frac{\pi z}{H}, \quad (2)$$

где W_0 , W_1 , δ – эмпирические параметры.

На верхней и боковых поверхностях цилиндра граничные условия принимаются в виде:

$$\lambda \frac{\partial T}{\partial n} + h(T - T_\infty) = 0, \quad (3)$$

где h – коэффициент теплоотдачи, T_∞ – температура окружающей среды, n – нормаль к поверхности.

Для нижней поверхности считаем, что масса основания намного больше массы цилиндра и температура на границе является заданной функцией:

$$T = T_0(r) \text{ при } z = 0. \quad (4)$$

Решению уравнения (1) с граничными условиями (3) и (4) соответствует минимум следующего функционала:

$$\chi = \int_V \frac{1}{2} \left[\lambda \left\{ \left(\frac{\partial T}{\partial r} \right)^2 + \left(\frac{\partial T}{\partial z} \right)^2 \right\} - 2WT \right] dV + \frac{1}{2} h \int_S (T - T_\infty)^2 dS. \quad (5)$$

Будем использовать треугольный симплекс-элемент, представленный на рис. 2.

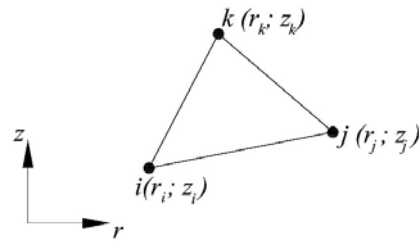


Рис. 2. – Используемый конечный элемент

Для температуры в пределах элемента принимается следующая аппроксимация:

$$T = N_i T_i + N_j T_j + N_k T_k = \{N_i \quad N_j \quad N_k\} \{T_i \quad T_j \quad T_k\}^T = \{N_i \quad N_j \quad N_k\} \{T\},$$

где N_i, N_j, N_k – функции формы, T_i, T_j, T_k – узловые значения температуры.

$$N_i = \frac{1}{2A} (a_i + b_i r + c_i z), \quad (6)$$

где A – площадь элемента, $a_i = r_j z_k - r_k z_j$, $b_i = z_j - z_k$, $c_i = r_k - r_j$.

Первый интеграл в (5) с учетом аппроксимации (6) запишется в виде:

$$\int_V \frac{1}{2} \left[\lambda \left\{ \left(\frac{\partial T}{\partial r} \right)^2 + \left(\frac{\partial T}{\partial z} \right)^2 \right\} - 2WT \right] dV = \frac{1}{2} \lambda \cdot \frac{1}{4A^2} \{T\}^T \begin{Bmatrix} b_i \\ b_j \\ b_k \end{Bmatrix} \{b_i \quad b_j \quad b_k\} +$$

$$+ \begin{Bmatrix} c_i \\ c_j \\ c_k \end{Bmatrix} \{c_i \quad c_j \quad c_k\} \{T\} \int_V dV - W \int_V T dV.$$

$$\int_V T dV = \{T\}^T \int_V \{N_i \quad N_j \quad N_k\}^T dV = \{T\}^T \frac{\pi A}{6} \begin{bmatrix} 2 & 1 & 1 \\ 1 & 2 & 1 \\ 1 & 1 & 2 \end{bmatrix} \begin{Bmatrix} r_i \\ r_j \\ r_k \end{Bmatrix}.$$

Интеграл по поверхности в (5) вычисляется следующим образом:

$$\int_S (T - T_\infty)^2 dS = \int_S T^2 dS - 2T_\infty \int_S T dS + T_\infty^2 S.$$

$$\int_S T^2 dS = \{T\}^T 2\pi \int_L \begin{Bmatrix} N_i \\ N_j \\ N_k \end{Bmatrix} \{N_i \quad N_j \quad N_k\} dL \{T\}^T = \{T\}^T 2\pi [C] \{T\}, \quad (7)$$

где L – длина ребра, попавшего на границу сред.

Интеграл (7) вычисляется только для ребер, попавших на границу между оболочкой и окружающей средой. Если граница проходит по ребру, соединяющему узлы i и j , то матрица $[C]$ имеет вид:

$$[C_{ij}] = \frac{L}{12} \begin{bmatrix} 3r_i + r_j & r_i + r_j & 0 \\ r_i + r_j & r_i + 3r_j & 0 \\ 0 & 0 & 0 \end{bmatrix}.$$

Если граница раздела сред совпадает с ребром ik или jk , то матрица $[C]$ записывается в виде:

$$[C_{ik}] = \frac{L}{12} \begin{bmatrix} 3r_i + r_k & 0 & r_i + r_k \\ 0 & 0 & 0 \\ r_i + r_k & 0 & r_i + 3r_k \end{bmatrix}; \quad [C_{jk}] = \frac{L}{12} \begin{bmatrix} 0 & 0 & 0 \\ 0 & 3r_j + r_k & r_j + r_k \\ 0 & r_j + r_k & r_j + 3r_k \end{bmatrix}.$$

$$\int_S T dS = \int_L \begin{Bmatrix} N_i \\ N_j \\ N_k \end{Bmatrix} 2\pi r dL = 2\pi \int_L \begin{Bmatrix} N_i \\ N_j \\ N_k \end{Bmatrix} (N_i r_i + N_j r_j + N_k r_k) dL = 2\pi \{f\}.$$

Вектор $\{f\}$ для ребер ij , ik , jk имеет вид:

$$\{f_{ij}\} = \frac{L}{6} \begin{Bmatrix} 2r_i + r_j \\ r_i + 2r_j \\ 0 \end{Bmatrix}; \quad \{f_{ik}\} = \frac{L}{6} \begin{Bmatrix} 2r_i + r_k \\ 0 \\ r_i + 2r_k \end{Bmatrix}; \quad \{f_{jk}\} = \frac{L}{6} \begin{Bmatrix} 0 \\ 2r_j + r_k \\ r_j + 2r_k \end{Bmatrix}.$$

Минимизируя функционал χ , получим следующую систему уравнений:

$$[K]\{T\} = \{P\},$$

где $[K]$ – матрица теплопроводности, $\{P\}$ – вектор нагрузки.

$$[K] = \frac{\lambda}{4A} \left(\begin{Bmatrix} b_i \\ b_j \\ b_k \end{Bmatrix} \begin{Bmatrix} b_i & b_j & b_k \end{Bmatrix} + \begin{Bmatrix} c_i \\ c_j \\ c_k \end{Bmatrix} \begin{Bmatrix} c_i & c_j & c_k \end{Bmatrix} \right) 2\pi \bar{r} + 2\pi h [C],$$

где $\bar{r} = (r_i + r_j + r_k)/3$.

$$\{P\} = \frac{W\pi A}{6} \begin{bmatrix} 2 & 1 & 1 \\ 1 & 2 & 1 \\ 1 & 1 & 2 \end{bmatrix} \begin{Bmatrix} r_i \\ r_j \\ r_k \end{Bmatrix} + 2\pi h T_\infty \{f\}.$$

Поскольку коэффициент теплопроводности зависит от температуры, то задача решается методом последовательных приближений. В первом приближении принимаем, а затем корректируем λ для каждого элемента по формуле: $\lambda_i = (\lambda_{i-1} + \lambda(T_{i-1}))/2$. Критерием выхода из цикла является условие $\frac{(\max(T_i) - \max(T_{i-1}))}{\max(T_i)} \cdot 100\% < 0.1\%$.

Зависимость коэффициента теплопроводности от температуры для жаростойкого бетона, представленная в действующих строительных нормах [10], приведена в таблице 1.

Табл. 1. – Коэффициент теплопроводности жаростойкого бетона при различных температурах

$T, ^\circ\text{C}$	50	100	300	500	700
$\lambda, \text{Вт}/(\text{м}\cdot^\circ\text{C})$	1,51	1,37	1,39	1,51	1,62

Представленная в табл. 1 зависимость при $50^\circ\text{C} \leq T \leq 700^\circ\text{C}$ аппроксимируется следующим образом:

$$\lambda(T) = \sum_{i=0}^3 \beta_i \left(\frac{T-50}{100} \right)^i,$$

где T – температура в градусах Цельсия; $\beta_0 = 1,51$, $\beta_1 = -0,2136$, $\beta_2 = 0,0774$, $\beta_3 = -0,0065$ – коэффициенты, полученные при помощи метода наименьших квадратов.

При $T \leq 50^\circ\text{C}$ примем, что $\lambda = \text{const} = 1,51 \text{ Вт}/(\text{м}\cdot^\circ\text{C})$. Вычисления выполнялись при следующих исходных данных: коэффициент теплоотдачи и средняя температура окружающей среды вблизи внутренней поверхности цилиндра (при $r = a$): $h_a = 5 \text{ Вт}/(\text{м}^2\cdot^\circ\text{C})$, $T_{\infty,a} = 50^\circ\text{C}$; на внешней поверхности

при $r = b$: $h_b = 35 \text{ Вт}/(\text{м}^2 \cdot \text{°С})$, $T_{\infty,b} = 20 \text{ °С}$; на верхнем торце при $z = H$:
 $h_H = 20 \text{ Вт}/(\text{м}^2 \cdot \text{°С})$, $T_{\infty,H} = 35 \text{ °С}$; $a = 2 \text{ м}$, $b = 3 \text{ м}$, $h = 3 \text{ м}$.

Температура в основании цилиндра определялась следующим образом:

$$T_0(r) = T_{A0} \frac{\ln(b/r)}{\ln(b/a)} + T_{B0} \frac{\ln(r/a)}{\ln(b/a)},$$

где $T_{A0} = 72 \text{ °С}$, $T_{B0} = 28 \text{ °С}$.

Эмпирические коэффициенты: $W_0 = 6,7 \cdot 10^{-4} \text{ Вт}/\text{м}^3$, $W_1 = 1,6 \cdot 10^{-3} \text{ Вт}/\text{м}^3$,
 $\delta = 10$.

На рисунке 3 представлен график изменения температуры в зависимости от r и z . Закрашенной поверхности соответствует решение при $\lambda = const$, сетчатой – при $\lambda \neq const$. Учет зависимости коэффициента теплопроводности от температуры приводит к незначительному (на 2.5%) повышению температуры в толще конструкции. Распределение коэффициента теплопроводности в зависимости от r и z представлено на рисунке 4.

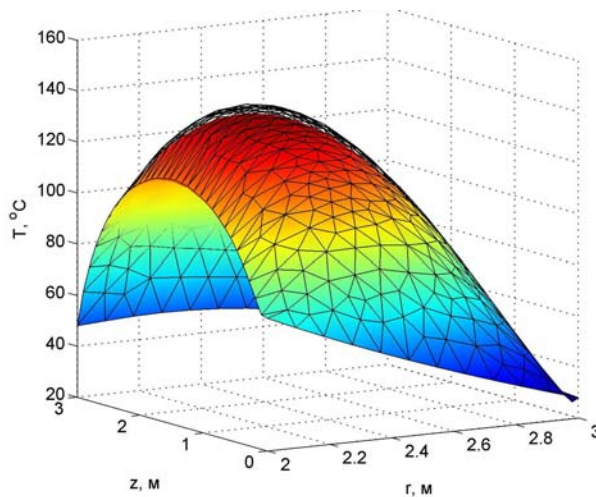


Рис. 3. – Распределение температуры в зависимости от r и z

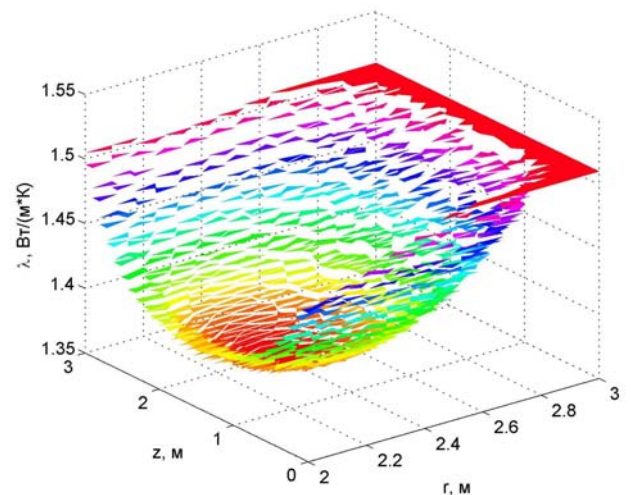


Рис. 4. – Изменение коэффициента теплопроводности $\lambda(r, z)$

Литература

1. Дудник А.Е., Чепурненко А.С., Никора Н.И., Денего А.С. Плоское деформированное состояние полимерного цилиндра в условиях термовязкоупругости // Инженерный Вестник Дона: электронный журнал. 2015. №2 (часть 2). URL: ivdon.ru/ru/magazine/archive/n2p2y2015/3063
2. Андреев В.И. Некоторые задачи и методы механики неоднородных тел: монография. М.: Издательство АСВ, 2002. 288 с.
3. Языев Б.М., Литвинов С.В., Козельский Ю.Ф. Плоская деформация элементов цилиндрических конструкций под действием физических полей // Инженерный Вестник Дона: электронный журнал. 2013. №2. URL: ivdon.ru/ru/magazine/archive/n2y2013/1616
4. Литвинов С.В., Козельский Ю.Ф., Языев Б.М. Расчёт цилиндрических тел при воздействии теплового и радиационного нагружений. Инженерный Вестник Дона: электронный журнал. 2012. №3. URL: ivdon.ru/ru/magazine/archive/n3y2012/954
5. Смоллов А.В. Напряжённно-деформированное состояние неоднородных упругих цилиндров под действием силовых и температурных нагрузок: дис. канд. техн. наук. М.: 1987. 161 с.
6. Andreev V.I., Chepurnenko A.S., Jazyjev B.M. Model of Equal-stressed Cylinder based on the Mohr Failure Criterion//Advanced Materials Research Vols. 887-888 (2014) pp 869-872. Trans Tech Publications, Switzerland
7. Andreev V.I., Avershyev A.S. Nonstationary Problem Moisture Elasticity for Nonhomogeneous Hollow Thick-Walled Sphere // Advanced Materials Research Advanced Materials Research, Vols. 838-841 (2013), pp. 254-258. Trans Tech Publications, Switzerland
8. Andreev V.I., Avershyev A.S. About Influence of Moisture on Stress State of Soil Taking into Account Inhomogeneity // International Journal for Computational Civil and Structural Engineering. 2013. №9. pp. 14-20.

9. Дубровский В.Б. Радиационная стойкость строительных материалов. М.: Стройиздат, 1977. 278 с.

10. СП 27.13330.2011. Бетонные и железобетонные конструкции, предназначенные для работы в условиях воздействия повышенных и высоких температур. Актуализированная редакция СНиП 2.03.04-84. М., 2011. 121 с.

References

1. Dudnik A.E., Chepurnenko A.S., Nikora N.I., Denego A.S. Inženernyj vestnik Dona (Rus), 2015. №2 (chast' 2). URL: <http://ivdon.ru/ru/magazine/archive/n2p2y2015/3063>

2. Andreev V.I. Nekotorye zadachi i metody mehaniki neodnorodnyh tel: monografija [Some problems and methods of mechanics of inhomogeneous bodies: monograph]. M.: Izdatel'stvo ASV, 2002. 288 p.

3. Jazyev B.M., Litvinov S.V., Kozel'skij Ju.F. Inženernyj vestnik Dona (Rus), 2013. №2. URL: <http://ivdon.ru/ru/magazine/archive/n2y2013/1616>

4. Litvinov S.V., Kozel'skij Ju.F., Jazyev B.M. Inženernyj vestnik Dona (Rus), 2012. №3. URL: <http://ivdon.ru/ru/magazine/archive/n3y2012/954>

5. Smolov A.V. Naprjazhjonno-deformirovannoe sostojanie neodnorodnyh uprugih cilindrov pod dejstviem silovyh i temperaturnyh nagruzok: dis. kand. tehn. nauk [Stress-strain state of inhomogeneous elastic cylinders under mechanical and temperature loads: diss. cand. tech. sciences]. M.: 1987. 161 p.

6. Andreev V.I., Chepurnenko A.S., Jazyjev B.M. Model of Equal-stressed Cylinder based on the Mohr Failure Criterion. Advanced Materials Research Vols. 887-888 (2014) pp 869-872. Trans Tech Publications, Switzerland

7. Andreev V.I., Avershyev A.S. Nonstationary Problem Moisture Elasticity for Nonhomogeneous Hollow Thick-Walled Sphere. Advanced Materials Research Advanced Materials Research, Vols. 838-841 (2013), pp. 254-258. Trans Tech Publications, Switzerland



8. Andreev V.I., Avershyev A.S. International Journal for Computational Civil and Structural Engineering. 2013. №9. pp. 14-20.

9. Dubrovskij V.B. Radiacionnaja stojkost' stroitel'nyh materialov [Radiation strength of building materials]. M.: Strojizdat, 1977. 278 p.

10. SP 27.13330.2011. Betonnye i zhelezobetonnye konstrukcii, prednaznachennye dlja raboty v uslovijah vozdejstvija povyshennyh i vysokih temperature [Concrete and Reinforced Concrete Structures intended for the Service in Elevated and High Temperatures]. Aktualizirovannaja redakcija SNiP 2.03.04-84. M., 2011. 121 p.